

Hyperconstruction

## 2.3. Hyperfeinstruktur

Nun berücksichtigen wir auch den Spin des Protons (bzw. Neutrons, wir betrachten Z=1)

Der Proton-Spin  $I$  führt zu einem magnetischen Moment

$$\vec{M} = \frac{e}{2m_p c} g_p \vec{I}$$

$g_p$ : Landé-Faktor

$$= \frac{\mu_p \cdot g_p \cdot \vec{I}}{\hbar} \quad g_p \approx 5.59$$

(Elektron:  $g_e \approx 2$ )

wegen  $m_p \gg m_e$  gilt  $\mu_p \ll \mu_e$ ;  $\mu_e = \frac{e \hbar}{2m_e c}$

Das magnetische Moment erzeugt ein Vektorpotential

$$\vec{A} = -\vec{M} \times \vec{\nabla} \left( \frac{1}{r} \right) \cdot \mu_0 \quad \text{und ein Magnetfeld}$$

$$\vec{B} = \vec{\nabla} \times \vec{A} \quad \mu_0 = \frac{1}{4\pi \epsilon_0}$$

Hyperfein-Wechselwirkung des magnetischen Moments des Elektrons mit dem  $\vec{B}$ -Feld des Kerns führt zu

$$H_{HFS} = \frac{\mu_e}{\hbar} \cdot g_e \cdot \vec{s} \cdot \vec{B}$$

↑  
Elektron-Spin

Def. magnet. Moment  
allgemein:  
 $\vec{\mu} = - \frac{\partial H}{\partial \vec{B}}$

$$= \mu_e g_e \mu_p g_p \frac{1}{\hbar^2} \vec{s} \cdot \left( -\vec{I} \vec{\nabla}^2 \left( \frac{1}{r} \right) + \vec{\nabla} (\vec{I} \cdot \vec{\nabla}) \left( \frac{1}{r} \right) \right) \cdot \mu_0$$

Trachte nur s-Welle ( $l=0$ ); verwende  
 $\vec{\nabla}^2 \left( \frac{1}{r} \right) = -4\pi \delta(r)$  und radiale Symmetrie  
 der s-Welle  $\Rightarrow$

$$H_{HFS} = \frac{2}{3} \mu_e g_e \mu_p g_p \frac{1}{\hbar^2} \vec{s} \cdot \vec{I} \cdot \delta(r) \cdot \mu_0$$

Die Matrixelemente sind von der Form

$$\langle n=1, l=0, m_l=0, m_s', m_I' | H_{HFS}^{(n=1)} | 1, 0, 0, m_s, m_I \rangle$$

$$= K \cdot \langle m_s', m_I' | \vec{s} \cdot \vec{I} | m_s, m_I \rangle = \Delta E_{HFS}^{(n=1)}$$

$$\begin{aligned}
 \text{mit } K &= \frac{2}{3} \mu_e g_e \mu_p g_p \frac{1}{\hbar^2} \left| \gamma_{100}(0) \right|^2 \cdot \mu_0 \\
 &= \frac{2}{3} \frac{e}{2m_e c} g_e \frac{e}{2m_p c} g_p \cdot 4\pi \cdot \frac{4}{a_0^3} \cdot \frac{1}{4\pi\epsilon_0} \\
 &= \frac{2}{3} \cdot g_e \cdot g_p \cdot \frac{m_e^2}{m_p} \alpha^4 \cdot c^2 \cdot \frac{1}{\hbar^2} \quad a_0 = \frac{\hbar}{\alpha m_e \cdot c} \\
 &\sim \underbrace{\frac{m_e}{m_p} \cdot m_e c^2 \alpha^4}_{\text{Größenordnung der Feinstruktur}} \cdot \frac{2}{3} \frac{g_e g_p}{\hbar^2}
 \end{aligned}$$

⇒ Effekt der Hyperfeinstruktur ist um einen Faktor  $\frac{m_e}{m_p} \approx 10^{-3}$  mal kleiner als Feinstruktur-Effekt:

$$\Delta E_{HFS} \approx 10^{-3} \cdot \Delta E_{FS}$$

Berechnung von  $\Delta E_{HFS}$ :

$$\text{Gesamtspin } \vec{F} = \vec{S} + \vec{I} \Rightarrow F \in \{0, 1\}$$

$$\text{Verwende } \vec{S} \cdot \vec{I} = \frac{1}{2} (\vec{F}^2 - \vec{I}^2 - \vec{S}^2)$$

und gehe von Basis  $|m_S, m_I\rangle$  zur Basis  $|F, m_F\rangle$ .

In der Basis  $|F, m_F\rangle$  ist  $\langle F, m_F | H_{HFS} | F, m_F \rangle$  diagonal, dann gilt

$$\begin{aligned}\vec{S} \cdot \vec{I} |F, m_F\rangle &= \frac{\hbar^2}{2} (F(F+1) - I(I+1) - \frac{3}{4}) |F, m_F\rangle \\ &= \frac{\hbar^2}{2} \left\{ \begin{array}{ll} I & \text{für } F = I + \frac{1}{2} \\ -I-1 & \text{für } F = I - \frac{1}{2} \end{array} \right\} |F, m_F\rangle\end{aligned}$$

Wasserstoff:  $I = \frac{1}{2}$

$$\Rightarrow \Delta E_{HFS}^{(n=1)} = K \cdot \frac{\hbar^2}{4} \cdot \left\{ \begin{array}{ll} 1 & \text{für } F=1, m_F=0, \pm 1 \\ -3 & \text{für } F=0, m_F=0 \end{array} \right.$$

Bemerkungen:

- Aufspaltung der Energieniveaus des Grundzustandes:

$$\Delta E_0 = \Delta E_{HFS}^{(n=1, l=0, F=1)} - \Delta E_{HFS}^{(n=1, l=0, F=0)}$$

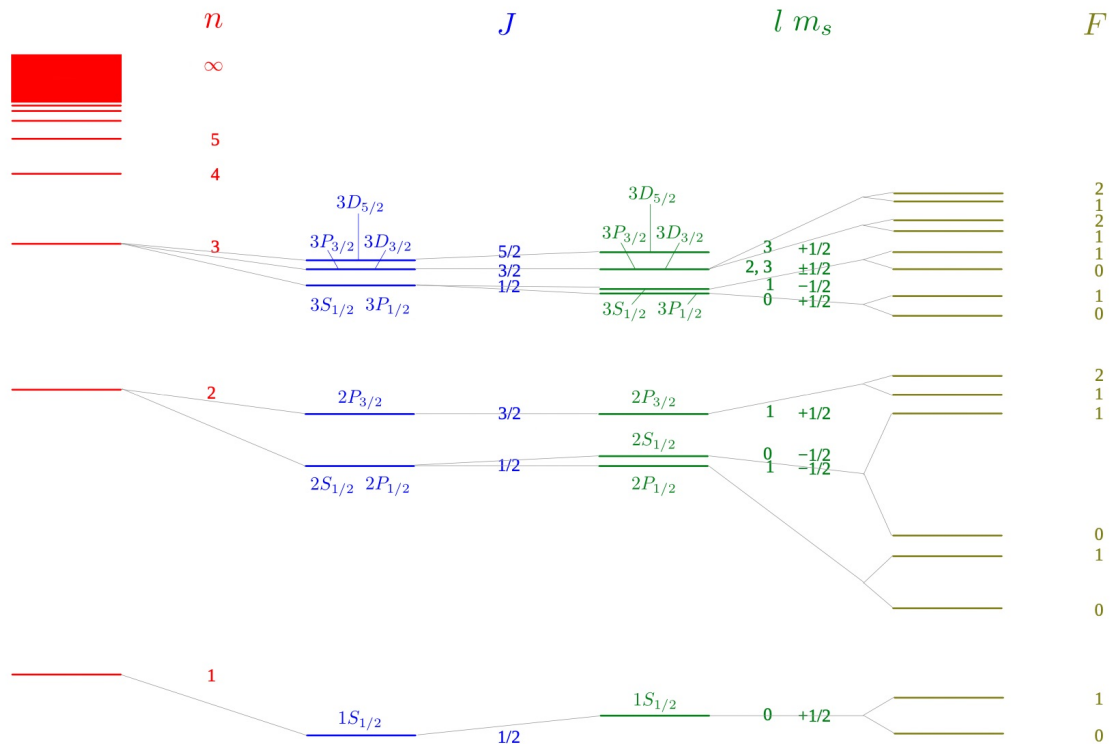
Der Übergang zwischen dem  $F=1$  und  $F=0$  Zustand durch Abstrahlung von Photonen erzeugt eine Spektrallinie mit  
 $\nu = 1420 \text{ MHz}, \lambda = 21.4 \text{ cm}$ .

Die  $21.4 \text{ cm}$ -Spektrallinie ist wichtig für die Astronomie. Aus ihrer Intensität und Doppler-Verschiebung kann Informationen über Wasserstoff-Ausammelungen im interstellaren Raum gewonnen.

- Durch die Hyperfeinwechselwirkung werden alle Niveaus in Dublette aufgespalten.
- Es gibt auch noch einen Anteil durch die Wechselwirkung des Bahndrehimpulses des

Elektrons mit dem Kernspin. Dieser führt zu Termen  $\sim \frac{1}{g_5}$  in  $H_{HFS}$  und damit zu Termen  $\sim \frac{1}{g_5}$  in  $\Delta E_{HFS}$  und ist damit unterdrückt.

- Die experimentelle Genauigkeit bei der Messung der Spektrallinien ist sehr groß. Deshalb kann die Messung von  $\Delta E_{HFS}^{(n=1)}$  zur genauen Bestimmung der Feinstrukturkonstanten  $\alpha$  verwendet werden. Allerdings ist  $g_p$  nicht genau bekannt, deshalb nutzt man z.B. Positronium ( $e^+e^-$  Zustand).



### Bohr

Lösungen der Schrödinger-Gleichung ohne Spin.  
Entartung:  $n^2$

### Feinstruktur

Spin-Bahn-Kopplung und relativistische Korrektur.

### Lamb-Verschiebung

Strahlungs-korrektur (QED)

### Hyperfeinstruktur

Spin-Spin-Kopplung (Energieskala 100-mal gestreckt)

source: Ellarie, commons.wikimedia.org

## 2.4. Zeeman - Effekt (Pieter Zeeman 1896)

Aufspaltung der Energieniveaus in  
Gegenwart eines statischen elektrischen  
Feldes

Man unterscheidet:

(a) normaler Zeeman - Effekt

(Elektron-Spin nicht berücksichtigt)

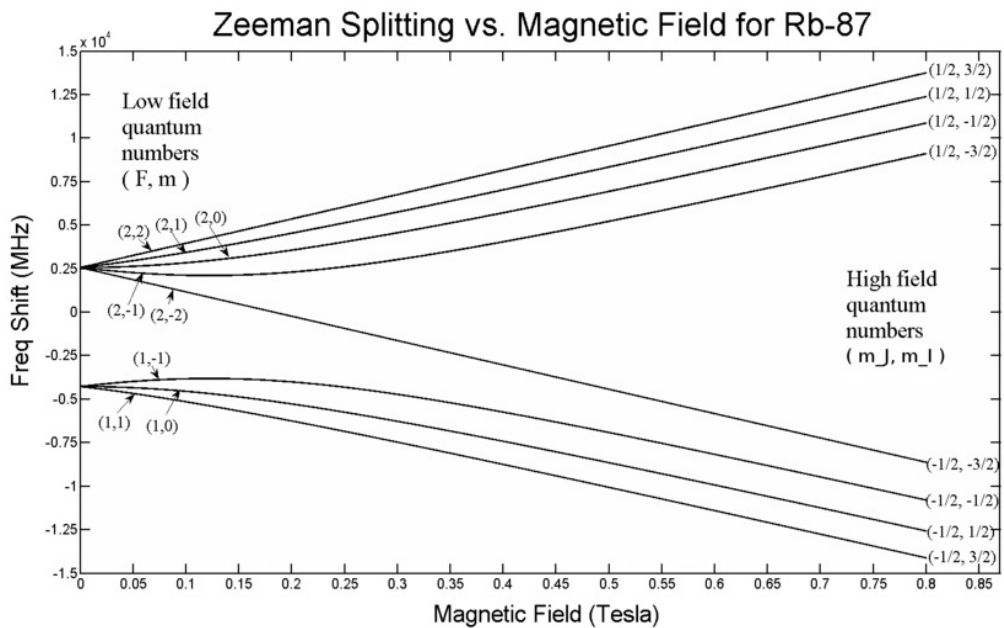
(b) "anomaler Zeeman - Effekt"

mit Elektron-Spin

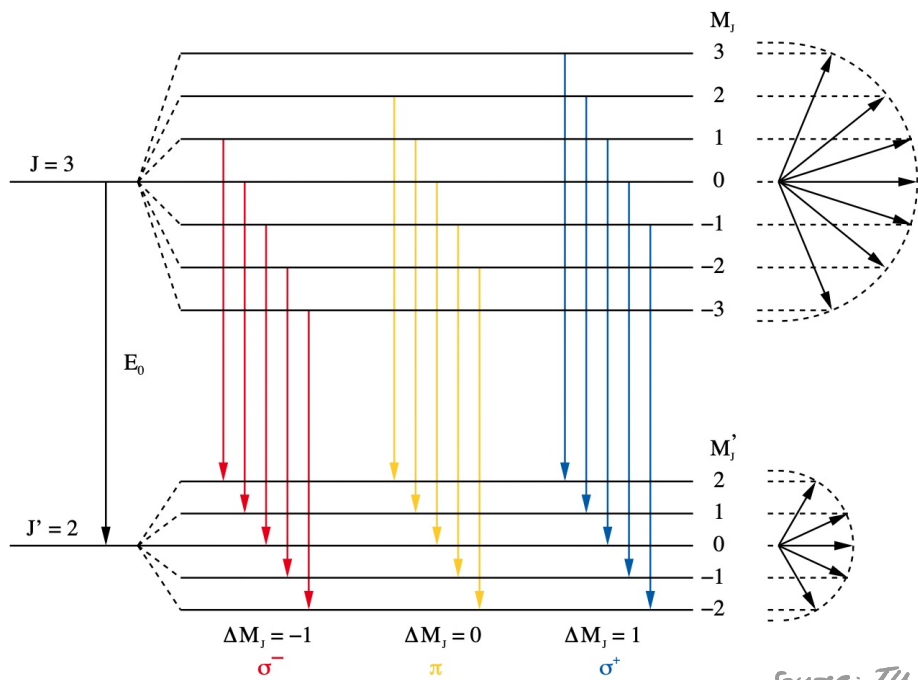
(c) Paschen - Back - Effekt :

schr starkes Magnetfeld;

Bahndrehimpuls und Spin entkoppeln



source : Wikipedia



Source : TU Darmstadt